L-46

圧電アクチュエータ振動ノズルによる酸素ナノ・マイクロバブルの発生

Oxygen nano-micro-bubbles generated by utilizing a piezo-actuator vibrating nozzle

越田 真実¹, 渡邉 学², 皆藤 孝³, 胡桃 聡³, 松田 健一³, 鈴木 薫^{3,4} Makoto Koshita¹, Gaku Watanabe¹, Takashi Kaito, Satoshi Kurumi², Ken-ichi Matsuda³, Kaoru Suzuki⁴

Nano-Micro-Bubble were generated from piezo-vibrating nozzles. A micro size hole on a SUS film was fabricated by focused ion beam techniques. The film was mounted on piezo-vibrating nozzle. Dissolved oxygen level was increased by oxygen NMB generation utilizing the nozzle.

1. はじめに

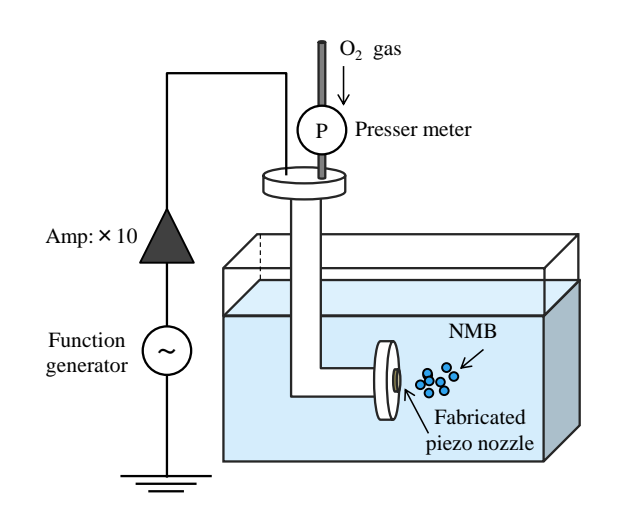
マイクロバブルは直径数十マイクロメートル以下の 微小な気泡であり、ナノバブルは直径 100 ナノメート ル以下の微小な気泡のことを指す. 一般的な気泡は水 中より上昇し水面で破裂するのに対し、ナノ・マイク ロバブル (NMB: nano-micro-bubble) は電荷を帯びな がら水中に滞在し、自己消滅するなどの特性があり、 NMB は圧壊時に高温高圧状態になり、溶媒の水、溶存 ガスを分解、ラジカルを発生する。それにより海水や 淡水の洗浄が可能の他に、酸素を含んだマイクロバブ ルでは養殖の育成促進に大きな効果があることも発見 された[1]. ナノバブルも酸素やオゾンを用いて殺菌, 脱臭効果や医療への応用など期待されており、NMBは 幅広い分野への応用に期待されている. この NMB を 発生させるには小さい穴にガスを注入するだけでは、 表面張力により穴径よりも大きい気泡となってしまう. NMB を発生させるためには、バブルの離脱条件として 表面張力が浮力よりも小さいことが必要である[2]. よ って NMB を発生させるための装置の開発が必要であ る. そこで我々は表面張力から NMB を離脱させるた め圧電素子による振動を利用した. 本稿では圧電アク チュエータを用いた NMB 発生装置の開発と、酸素 NMB を発生させた際の、水中溶存酸素量について報告 する.

2. 実験方法

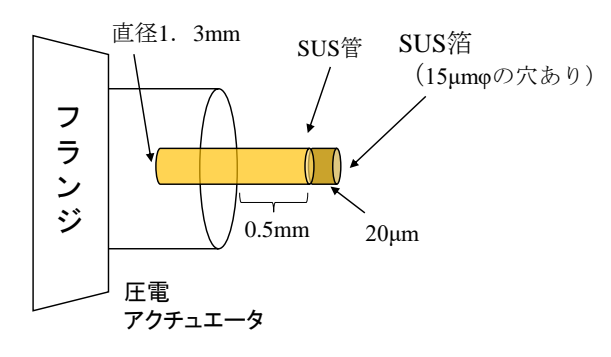
2.1.実験装置作製

図 1(a)は NMB 発生装置の概略図である. 図 1(b)は NMB 発生の為のノズル先端部分であり NMB 発生用のノズルは圧電アクチュエータ(NECトーキン社製)に直径 1.3mm の SUS 管を挿入し、その表面に穴径 15 μm の空隙がある SUS 箔を貼り付けて製作した. NMB 発生装置はこのノズルとガス導入用、および圧電アクチュエータ駆動用の配管を組み合わせたものである. ガ

ス導入用の配管では、ガス圧計によって管内気圧を調整した. 圧電アクチュエータは発振器の出力を増幅率 10 倍のアンプによって 4~7W の電力を印加することによって駆動させた.



(a)実験装置全体図



(b)実験装置ノズル部分 図1 実験装置概略図

2.2.Focused Ion Beam: FIB 装置によるノズル表面観察 SUS 製ノズルの表面評価は、SIM 像を観察することにより行った. ノズル表面の SIM 像は FIB 装置によりイオンビームを照射し、2 次電子を検出することにより観測した.

1:日本大学理工学部電気工学科,学生 2:日本大学院理工学研究科電気工学専攻,院生 3:日本大学理工学部電気工学科,教員 4:先端材料科学・材料創造研究

2.3.溶存酸素量の測定

圧電アクチュエータの動作の有無による, NMB を発生させた液中の溶存酸素量 (Dissolved Oxygen: DO) の変化を,溶存酸素計 (堀場製作所,LAQUAcat OM-71) により計測した。表 1 に NMB 発生条件を示す。

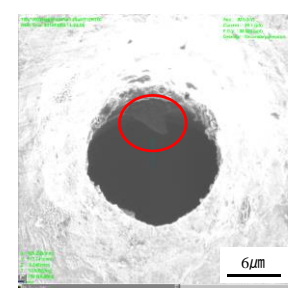
表 1 酸素 NMB の発生条件

溶液	水道水
ガス種	02
管内気圧	20kPa
印加電圧	6.7W
周波数	76.6kHz

3. 実験結果

3.1, ノズルの表面観察

図 2 に FIB 装置により観測した SUS 製ノズル表面の SIM 像を示す. 作製したノズルの SUS 箔表面は、均一 な円形で設計通り直径 15 μ m であることを確認した。 ノズル作成時、図 2(a)のようにノズル内に異物が見られたため図 2(b)のように FIB を用いて異物除去を行い NMB を発生させた.

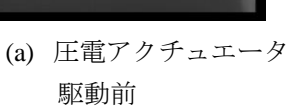


(a)異物除去前

(b)異物除去後

図2 SUS 製ノズルの SIM 像







(b)圧電アクチュエータ 駆動後

図3 圧電アクチュエータ駆動によるNMB発生の様子

図3は圧電アクチュエータ駆動前後における NMB 発生の様子を撮影した写真である. 圧電アクチュエー タの振動がない場合(図3(a)) NMB の発生が確認され なかった. 図 3(b)は圧電アクチュエータによる振動を 与えたときの画像である. ノズルから NMB が指向性 をもって放出されていることがわかる.

3.2、溶存酸素量の測定

図4に溶存酸素量の時間的変化の関係を示す.図の 圧電素子を振動させない場合,溶存酸素濃度値はほと んど変化が見られない.それに対し,圧電素子を振動 させた場合は時間が経過するにつれて溶存酸素濃度値 が上昇し,15分後には17mg/Lとなった.1気圧,水温 20℃における飽和溶存酸素量は8.84mg/Lであり,圧電 アクチュエータを振動させ酸素 NMB を発生させるこ とにより溶存酸素量が過飽和することができた.

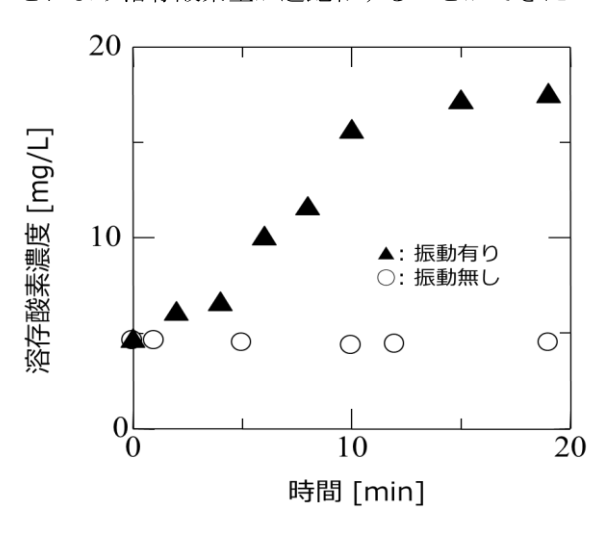


図4溶存酸素量の時間的変化

4. まとめ

本実験では SUS を用いたノズル開発を行い、さらに NMB 発生時の水中溶存酸素量についての計測を行った. SUS によるノズルの作製に成功し、水中で NMB を発生させた際、NMB と一般の気泡とでは溶存酸素量に大きく差が出ることを確認した.

参考文献

[1] 日本機械学会:「マイクロバブル最前線」, pp. 3-4 (2009)

[2] 胡桃 聡 他:「FIB マイクロ加工した圧電振動子 / ズルによるマイクロバブル発生」, 平成 24 年基礎・材料・共通部門大会予稿集, pp. 157-162(2012)